

大阪市立大学工学部 正員 三室正人

〃 〃 高田直俊

〃 〃 望月秋利

中央開発(株) 〃 三輪重昭

1. まえがき 我々の研究室では、昨年米ロックフィルダムの直心力構型実験を行なっているが、その際、もちろん原材料をそのまま用いることはできぬので、これを碎いて相似な粒度分布の形を持ち、粒径 $1/200$ の調整材料をつくって用いている。

ところで土の力学的性質は一般に土の種類と状態できまるが、砂以上の粒径の試料の場合、土の種類を決定する要素、すなむち一次性質としては粒度、粒径、粒度分布の形、粒子形状の4つを挙げることができる。これらの中、これまであまり定量化されたのがないなかで、粒子形状については、我々も一応不専門に付してきたが、考えてみると粒子の形は土の力学的性質に対して粒度分布と同様、いや場合によってはそれ以上大きな影響をもち得るはずであり、これを無視して模型と实物との関連性を云々することはできないと思われた。そこでまず粒子の形状を表現する方法が必要となつたが、今迄にいくつか考えられてきた方法はハーフルを個々の粒子について直接測定して求めるもので、多数の粒子についてこれを行なうことは困難であり实用性に乏しい。そこで我々はスリット状の目のあるふるいを作り、それを用いて粒子を偏平の底面によって分類する方法を試み、さらにこの方法によって分類された粒子形状が、力学特性にどのような影響を与えるかを調べた。一応の成果を得たのでここに報告する。

2. 粒子の形の表現法と試験法について 粒子の形はもちろん2, 3の変数で表わし得るほど簡単なものではなく、じく大きっぽに見ても直角にとった3つの主軸方向の長さの比(図-1 ①の $a:b:c$)のほか、角はっているか丸味を帯びているか、また表面が粗であるか滑らかであるか、などの重要な因子があり、細かく見れば土の状態における。構造と同様無限のvariableを含んでゐるものである。しかしこれらを一度に考慮に入れることはできないので、まず a , b , c の長さを測定する方法を考えてみた。

通常の網ふるいでは、同図②でわかるように中間辺 b の値によって分類してはいるわけであるが、新しく考案したスリット目のふるい(長目ふるいと呼ぶ)では、スリットを通るかどうかは最小径長さ c だけで決まる。そこでこの2つのふるいを組合せることにより、 b , c の範囲別に粒子を分類することができる。

a の値はこの2つの操作からは求めることはできないため、平面上に並べた粒子の写真を撮影し、これから a の値を測定し、その分布を調べた。このとき中間辺 b の測定も同時にを行なって、 b の分布状態を調べ、網ふるいによる公称径 b の範囲と比較、検討を行なった。

3. ふるい分け試験

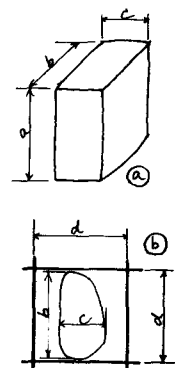


図-1

①試験に用いた材料

この実験では緻密な粒度の砂岩を碎いて作った最大径4.8 mmの石粉を用いた。材料の比重は2.714である。

②ふるい分け試験

ふるいは一般に用いられている網ふるいと、新たに作った長目ふるい(写真-1)で、ふるい目(スリット幅)は3.4, 2.0, 1.2, 0.84, 0.42 mmである。

まず5種の通常の網ふるいで試料をふるい分けると、中間径の長さの範囲にしたがって分けられる。ここで γ の最大値は後述のように、ふるい目の寸法 d と一致しないので、こうして分けられた試料の丁度はふるい目 d で表わし、これを公称径と呼ぶ。次にこうしてふるい分けられた各公称径の試料を、さらに公称径以下の長目ふるいでふるい分ける。ふるい分けはいつも機械ふるいで30分行なう。これによってある γ の範囲の粒子を C の値別に分けたことになる。

③最大径 γ の測定

粒子の最大径 γ は上の試験からは知ることはできない。それでは上記の操作で、ある γ , C の範囲に分けた試料から約20gの粒子を取り出して平面にならべて写真撮影し、(写真2~5)無作為に10gの粒子について最大径 γ の測定を行なう。このとき粒子の a , b 面は、写真面に平行になっていると仮定し、写真に写っている最小径を a とし、 b と直交した軸への投影長を最大径 γ とする。この測定を5回くり返し、計50gの粒子について γ と C の測定を行なった。

④結果と考察

この試料の網ふるいによる(すなはち公称径 d に関する)粒度分布曲線を図-2に示す。同図に同じ試料を長目ふるいでふるい分けた場合の粒度分布曲線をも示す。これは C の値に関する粒度分布である。図-3は各公称径の範囲のものを長目ふるいでふるい分けた結果で、各粒径ごとの重量を加え合わせたものは図-2の長目ふるいによる粒度分布曲線と同じになる。また図-2の長目ふるいによる粒度分布曲線と、網目ふるいによる粒度分布曲線は試料が球の場合には一致し、偏平な粒子が多くなる程前者は後者の上方に位置する。このとき図-3の C の分布曲線は寝てくることになる。

次に図-4, 5はそれぞれ公称径3.4~2.0, 1.2~0.84 mmの試料を長目ふるいで分類し、前述の写真撮

影による方法で測定した a , b の値について b/a の値と個数の割合を表したものである。この図から、 C の値によらず b/a の値はほぼ同じような分布を示しているが、偏平

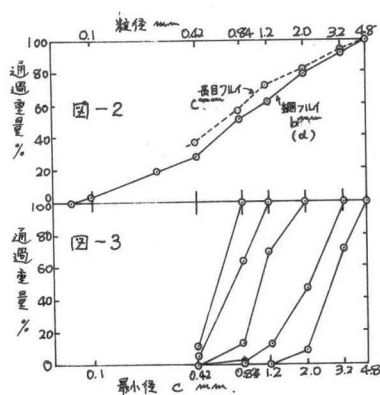
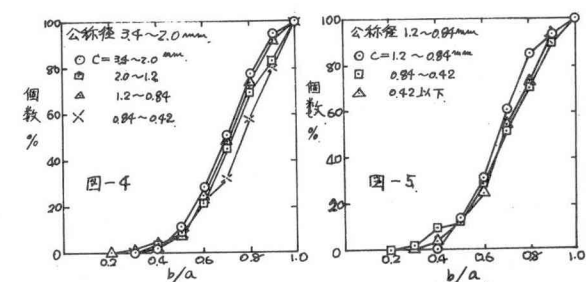


図-2

図-3



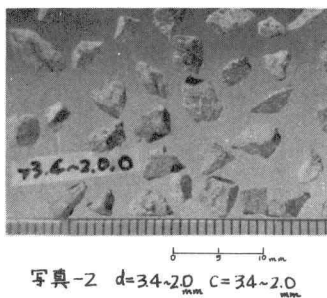


写真-2 $d = 3.4 \sim 2.0 \text{ mm}$ $C = 3.4 \sim 2.0 \text{ mm}$



写真-3 $d = 3.4 \sim 2.0 \text{ mm}$ $C = 2.0 \sim 1.2 \text{ mm}$

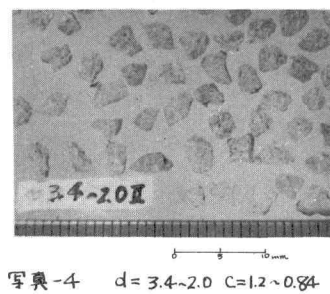


写真-4 $d = 3.4 \sim 2.0 \text{ mm}$ $C = 1.2 \sim 0.84 \text{ mm}$

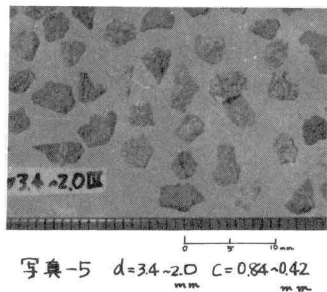


写真-5 $d = 3.4 \sim 2.0 \text{ mm}$ $C = 0.84 \sim 0.42 \text{ mm}$

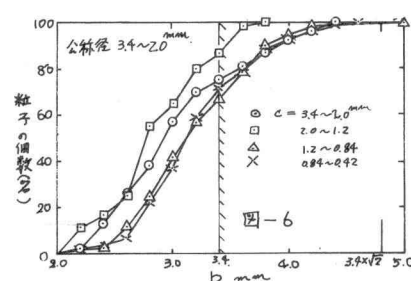


図-6

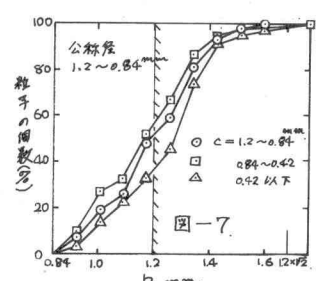


図-7

τ_b (C の小さい) 材料によると、

b/a の値が 1 に近いものの占める割合が多くなる傾向がある。これは他の公称径のものについても同様な結果を得ている。写真 2~5 は、公称径 3.4~2.0 mm の試料について C を 3通りの範囲に分けた粒子の写真を示す。

また図-4, 5 の 2 種の公称径の試料について、公称径 d と上記の τ_b の値とを比較したのが図-6, 7 である。もし τ_b の値が公称径 d の範囲に入るなら、 τ_b の分布曲線は図の影をつけた範囲には存在しないはずである。ところが偏平な粒子は図-8 のように、ふるい目の斜角線方向に通る。すなはち網ふるいで分けた公称径 d の粒子には、中間径 b の大きさが最大 \sqrt{d} の粒子が含まれる可能性があり、図-6, 7 からも \sqrt{d} の粒子の存在が認められる。

図-9 は公称径 3.4~2.0 mm の試料について b/a ~ c/b の図、(ハ) ウルブレッジの図にプロットしたものである。この a , b の値は写真から得たものであるが、 C の値は 2 つの長目ふるいのスリット中の範囲を持つので線分で表わされる。この図から、この試料には rod, blade 状の粒子は含まれていないことがわかる。また c/b 方向に異なった C の範囲の線分が重なり合っているのは先に述べた公称径 d と実際の b の大きさの違いからである。

4 力学試験

① しめ固め試験 粒子形状がしめ固め特性にどのような影響を与えるかを調べるためにしめ固め試験を行なった。試料は空気乾燥試料で公称径 3.4~2.0, 1.2~0.84 mm のものと長目ふるいでのふるい分けたものである。図-10 のように JIS の突固め試験のモールドに約 880 g の試料を入れ、その上に 3.2 kg の円板

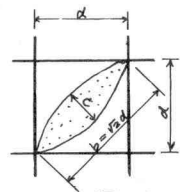


図-8

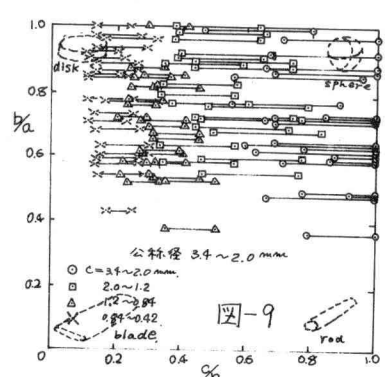


図-9

状の荷重を載せ、モールド全体を1 cmの高さから毎秒1回の割合で300回落下させると。次にゴムヒモでこの荷重を試料に張り力7 kgで押しつけた状態でさらに600回落すと後密度を求める。この値を最大密度とする。最小密度は同じモールドに試料を静かに流し込んで求める。この結果を円柱キャビティに直して、Cの範囲の平均値に対してプロットしたのが図-11, 12である。図から明らかのように、偏平な粒子ほど最大、最小間ケキ比が大きくなる。他の公称径のものについても同様な結果を得ている。

②セン断試験 試験には公称径 d が 3.4~2.0 mm C が 3.4~2.0, 2.0~1.2, 1.2~0.84 mm の3種の空気乾燥試料を用いた。初期間ケキ比は、先のしめ固め試験結果とともにした相対密度 80% の値とした。セン断は等圧セン断試験で、供試体直径 10 cm, 厚さ 3 cm の大型で改良型一面セン断試験機を用いた。図-13は垂直応力 20, 50 kN の場合のセン断応力、垂直変位とセン断変位の関係を3種の材料について比較したもので、粒子が偏平なものほどセン断応力、垂直変位とともに小さく、セン断応力のピークがはつきりしなくなる。図-14は一連の試験から得たデータの関係で、偏平なものほど強度が低くなっている。三軸試験も少し行ない、偏平度があまり強度に影響しないという結果を得ているが、これについてはなお研究を進めてから報告したい。

5.まとめ この研究から得た結論を以下に示す。

1). この長目ふるいを用いた試験は、粒子形状の偏平の度合について調べるのに有効な一試験法であることが認められる。

2). 今回の実験では、一般に用いられている細目ふるいを用いたため、中間径 b の大きさは公称径の上限値の2倍の大きさから、下限値の範囲に存在し、公称径と中間径の両にはかなりの差がある。これはふるいを使う限りにおいて避けられぬものであるが、円孔の板ふるいを用いてこの材料を分類するならこの差をかなり少なくすることができます。

3). b/a の値は、材料の偏平の度合にあまり関係なく同じような分布をしているが、偏平な材料になるほど b/a の値が 1 に近いものの方が多くなる傾向にあることが認められる。

4). この方法で分けた粒子の力学的性質には明らかな違いが見られ、粒子が偏平になるほどしめ固め密度は小さく、また一面セン断試験によるセン断強度は低くなつた。

参考文献 G. Lees, A New Method for Determining the Angularity of Particles, Sedimentology, 3 (1964) 2-21

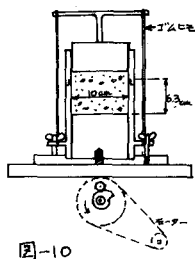


図-10

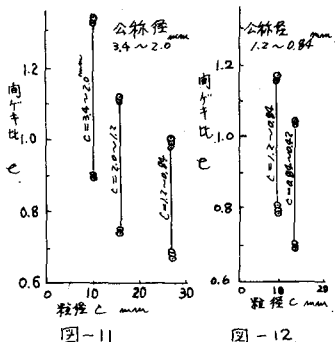


図-11

図-12

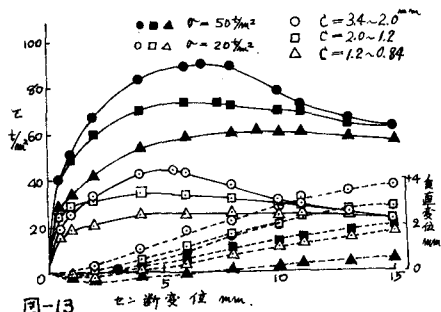


図-13

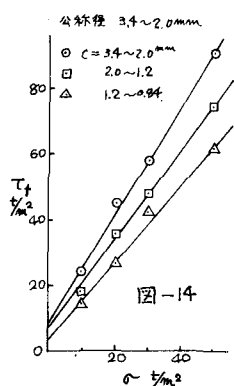


図-14